

TP : Qubit supraconducteur

Philéas Thibault - Boris Baudel - Benjamin Oksenberg

École Normale Supérieure Paris-Saclay - ARTeQ

1. Le circuit quantique supraconducteur

1.0.1 Système à 2 niveaux (spin)

L'hamiltonien du système est donné par :

$$\hat{H} = \frac{\hbar\Omega}{2} (|1\rangle\langle 1| - |0\rangle\langle 0|) = -\frac{\hbar\Omega}{2} \hat{\sigma}_z$$

Avec :

$$\hat{\sigma}_z = \begin{pmatrix} 1 & 0 \\ 0 & -1 \end{pmatrix}$$

Dans un référentiel tournant à la fréquence du qubit Ω , l'état du qubit peut être représenté par un vecteur de Bloch sur la sphère de Bloch :

$$|\psi\rangle = \cos\frac{\theta}{2}|0\rangle + e^{i\phi}\sin\frac{\theta}{2}|1\rangle = \alpha|0\rangle + \beta|1\rangle$$

La matrice densité associée est donnée par :

$$\rho = |\psi\rangle\langle\psi| = \begin{pmatrix} \cos^2\frac{\theta}{2} & e^{-i\phi}\cos\frac{\theta}{2}\sin\frac{\theta}{2} \\ e^{i\phi}\cos\frac{\theta}{2}\sin\frac{\theta}{2} & \sin^2\frac{\theta}{2} \end{pmatrix}$$

Dans la figure 1 et 2 on observe l'oscillateur LC quantique qui permet de faire un oscillateur anharmonique.

1.0.2 Hamiltonien de Josephson

La jonction Josephson utilise l'hamiltonien de Josephson donné par :

$$\hat{H}_J = -E_J \cos \hat{\Phi} \simeq -E_J \left(1 - \frac{\hat{\Phi}^2}{2\Phi_0^2} + \frac{\hat{\Phi}^4}{4!\Phi_0^4} + \dots \right)$$

L'énergie de transition est donnée par :

$$\delta E_n = -\frac{E_J}{4!\Phi_0^4} \left(\frac{1}{2}\hbar\omega_0 L_J \right)^2 \times (6n^2 + 6n + 3) = -\frac{e^2}{8C} (2n^2 + 2n + 1)$$

Cependant dans notre cas, nous avons à faire à un circuit donné par la figure 3 qui est constitué par un Qubit, un résonateur et un filtre de Purcell. On peut voir à quoi ressemble la circuit réel dans la figure 4.

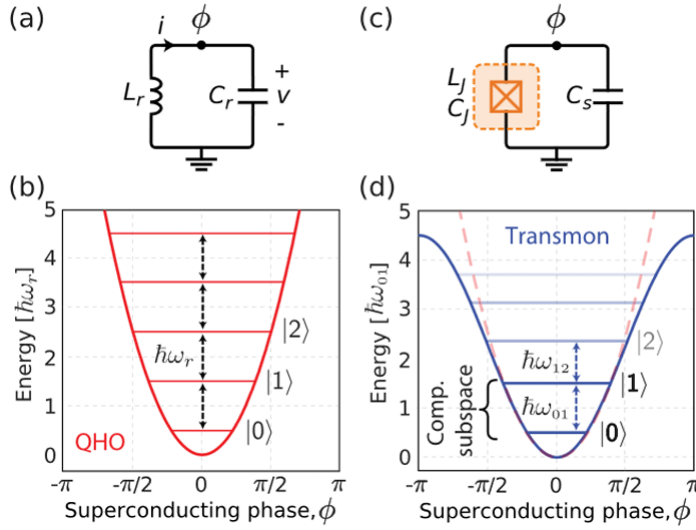


FIGURE 1 – Circuit d'un simple Qubit

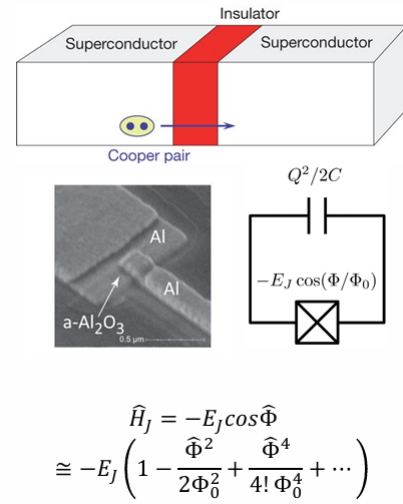


FIGURE 2 – Jonction Josephson

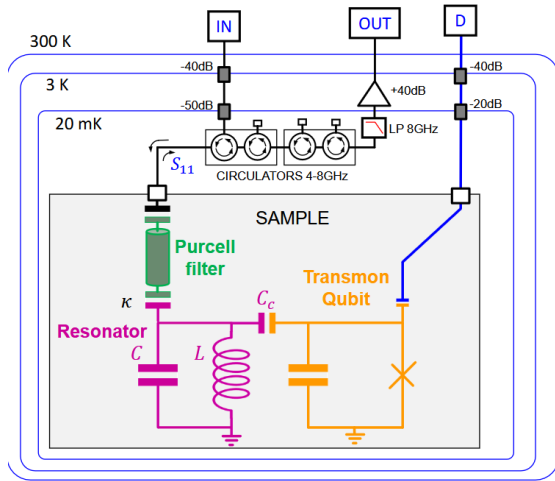


FIGURE 3 – Circuit quantique à étudier avec résonateur, Qubit et filtre de Purcell.

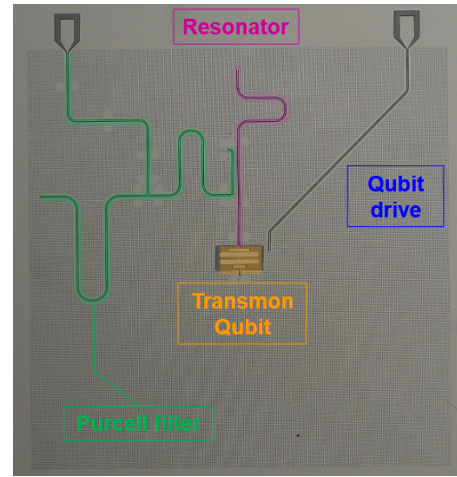


FIGURE 4 – Circuit réel

L'Hamiltonien de notre circuit qui est en figure 3 nous donne l'hamiltonien de Jaynes-Cummings suivant :

$$H_{JC} = \omega_r \left(a^\dagger a + \frac{1}{2} \right) + \frac{\omega_q}{2} \sigma_z + g (\sigma_+ a + \sigma_- a^\dagger)$$

Le premier terme représente le résonateur, le deuxième le Qubit et le dernier le couplage. Dans le régime dispersif, l'hamiltonien devient :

$$H_{\text{disp}} = (\omega_r + \chi \sigma_z) \left(a^\dagger a + \frac{1}{2} \right) + \frac{\tilde{\omega}_q}{2} \sigma_z$$

Avec :

$$\chi = \frac{g^2}{\Delta}, \quad \tilde{\omega}_q = \omega_q + \frac{g^2}{\Delta}$$

Il apparaît alors que la fréquence du résonance effective du résonateur dépend directement de l'état du qubit en étant déplacée d'un facteur χ .

2. Mesures au VNA

2.1 R  sonateur

Le VNA est branch   sur la ligne de mesure du r  sonateur et mesure le signal en r  flexion apr  s qu'il soit pass   par une s  rie de circulateurs. La mesure de r  flexion r  v  le une fr  quence de r  sonance de 5.9 GHz environ autour de laquelle le d  phasage du signal r  alise un saut de 2π . En raison du couplage avec le qubit la fr  quence de r  sonance est d  doubl      5922 et 5925 MHz (Fig.5).

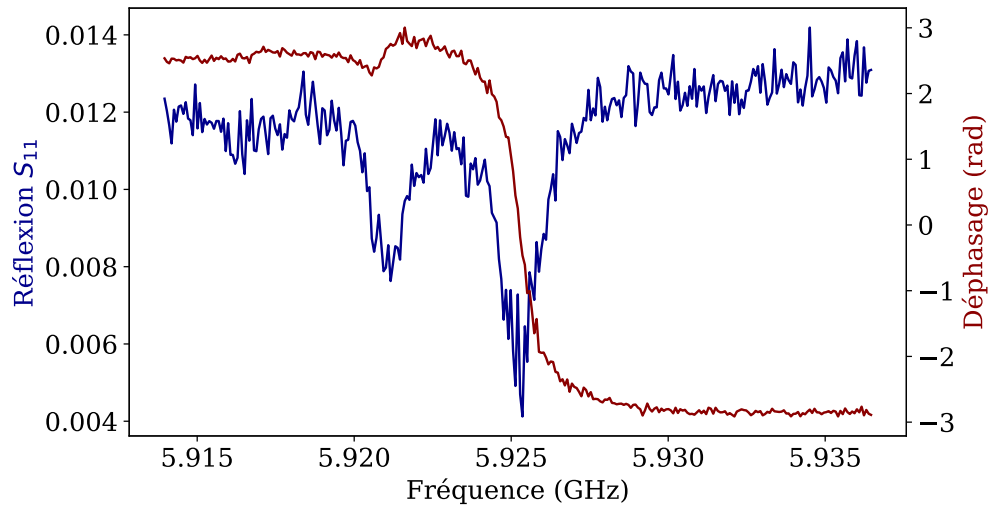


FIGURE 5 – Mesure de la r  flexion du r  sonateur autour de sa fr  quence de r  sonance. Il appara  t deux r  sonances pour chacune des valeurs du Qubit.

2.2 Spectroscopie deux tons

2.2.1 Fr  quence du Qubit

Afin d'identifier la fr  quence du qubit on rel  ve la valeur de la r  flexion du r  sonateur    5925 MHz pour diff  rentes fr  quences d'excitation du qubit (Fig.6). Lorsque la fr  quence d'excitation est suffisamment proche de celle du qubit, il passe dans l'  tat excit   et la r  flexion du signal    5925 MHz chute. On identifie alors la fr  quence de transition du qubit    3515 MHz.

De plus, en variant la puissance de pompe on constate comme attendu un   largissement de la r  sonance du qubit.

2.2.2 Transition    deux photons

Lorsque le qubit est pomp   avec suffisamment de puissance, il est possible de lui faire effectuer une transition    deux photons vers son second   tat excit  . Pour cela on retire de la ligne d'excitation du qubit un filtre att  nuateur de -10 dB afin d'envoyer la puissance n  cessaire. Un balayage en fr  quence autour de 3400 MHz r  v  le alors deux chutes de r  flexion de la cavit   autour de 3393 MHz (Fig.7) correspondant    cette transition. La fr  quence de transition entre le fondamental et le second niveau excit   est donc d'environ 6786 MHz.

3. Mesure avec une carte FPGA

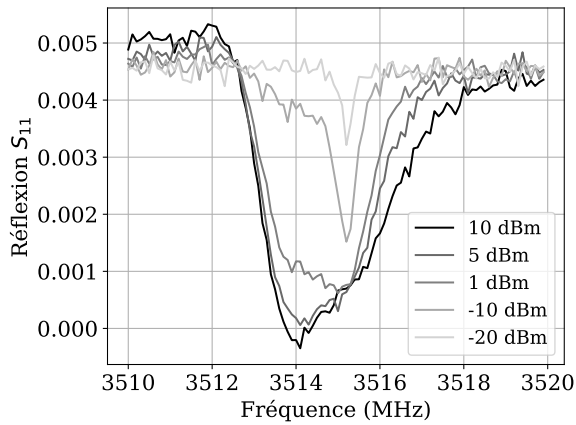


FIGURE 6 – R  flexion d'un signal    5925 MHz sur le r  sonateur en fonction de la fr  quence d'excitation du qubit et de la puissance de pompe.

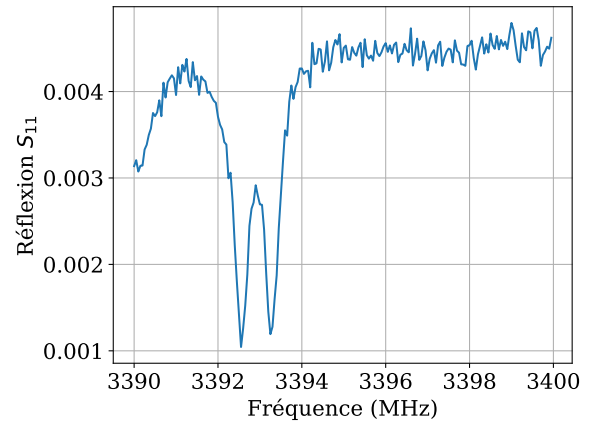


FIGURE 7 – R  flexion d'un signal    5925 MHz sur le r  sonateur en fonction de la fr  quence d'excitation du qubit permettant d'initier une transition    deux photons vers son second   tat excit  .

3.1 Temps de vol

Nous disposons d'une carte FPGA capable d'  mettre et de d  moduler des signaux. Nous connectons un des canaux de sortie    un canal d'entr  e avec un court c  ble. Nous envoyons un pulse    5910 MHz sur le canal de sortie tout en mesurant le signal sur le canal d'entr  e. On constate alors qu'il y a un d  lai de 0.3 μ s entre le d  but de la mesure et la r  ception du signal (Fig.8). Ce d  lai est bien trop grand pour   tre seulement li   au temps de propagation du signal dans le c  ble, il est en grande partie d   au traitement du signal de la carte FPGA. Sa prise en compte permet alors de synchroniser l'  mission et la r  ception des signaux. Par la suite, nous mesurons le d  phasage du signal   mis entre 5905 et 5945 MHz. On constate alors qu'en raison du temps de propagation    travers le syst  me le d  phasage augmente lin  airement. Par un ajustement avec une fonction lin  aire on d  termine une variation de 19.13 rad/MHz. On r  it  re la mesure en d  phasant au pr  alable les signaux   mis par cette quantit  . On mesure alors un d  phasage nul    toutes les fr  quences.

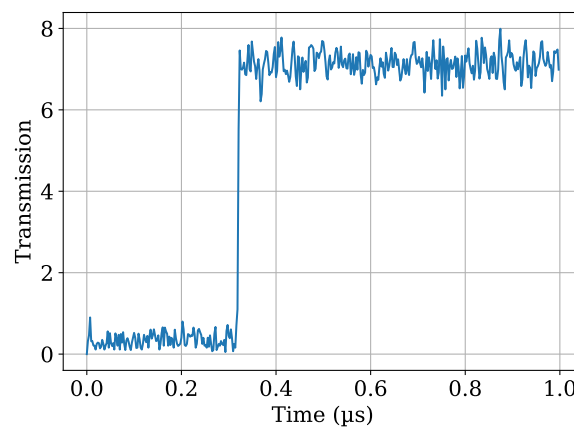


FIGURE 8 –   mission et mesure simultan  es d'un pulse avec la carte FPGA. On constate un d  lai de 0.3 ms

Nous r  it  rons ces mesures en passant    travers la ligne du cryostat permettant de mesurer

le r  sonateur en r  flexion. On constate alors que le d  lai entre l  mission et la mesure du signal augmente de 52 ns ce qui repr  sente une longueur de propagation de quelques m  tres. Cela est coh  rent avec les dimensions du cryostat. Il en va de m  me avec le d  phasage, il est alors de 19.24 rad/MHz.

3.2 Fr  quence du Qubit

De fa  on similaire    la mesure de la fr  quence du qubit au VNA, la carte FPGA r  alise une mesure de la r  flexion du r  sonateur tout en excitant le qubit    diff  rentes fr  quences. La mesure permet d  obtenir un r  sultat identique : la fr  quence du qubit est de 3515 MHz. Mais elle permet notamment de v  rifier que les mesures pr  c  dentes de d  lai et de d  phasage permettent d  obtenir les r  sultats voulus.

3.3 Oscillations de Rabi

Des pulses    3515 MHz de diff  rentes intensit  s et de diff  rentes longueurs sont envoy  s au qubit afin de lui faire effectuer des rotations sur la sph  re de Bloch.

3.3.1 Variation de l  amplitude des pulses

Pour d  buter on recherche l  amplitude des pulses requises pour faire effectuer au qubit une rotation $\pi/2$ en 100 ns. Le programme permettant de piloter le FPGA prend en param  tre le gain    appliquer aux pulses. On fait donc varier ce param  tre tout en faisant jouer au FPGA des s  quences de pulses de 100 ns. La mesure de la phase du r  sonateur r  v  le alors une oscillation de l  tat du qubit en fonction de l  amplitude des pulses (Fig.9). On constate que le qubit passe compl  tement dans l  tat excit   pour un gain de 8500. Nous garderons cette valeur de gain par la suite, elle permet d  obtenir la bonne amplitude afin que les pulses $\pi/2$ durent 100 ns.

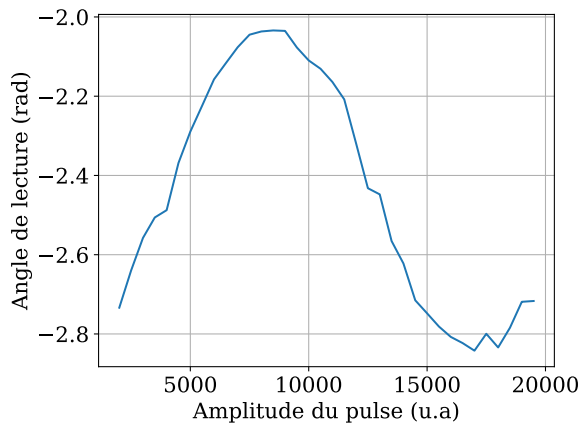


FIGURE 9 – Phase de r  flexion du r  sonateur    5925 MHz en fonction de l  amplitude d  un pulse d  excitation du qubit de 100 ns.

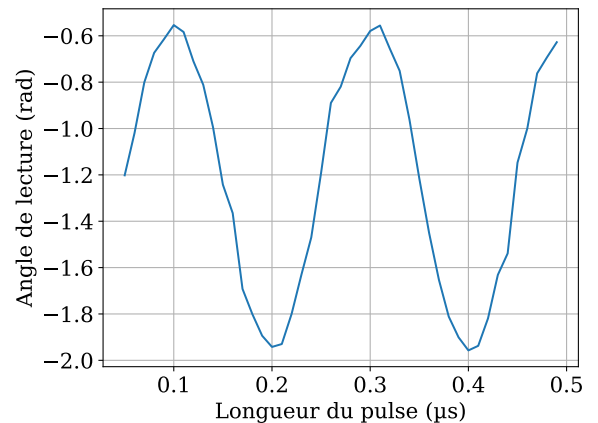


FIGURE 10 – Phase de r  flexion du r  sonateur    5925 MHz en fonction de la longueur d  un pulse d  excitation    3515 MHz.

3.3.2 Variation de la longueur des pulses

Des pulses de diff  rentes longueurs sont envoy  s au qubit afin d  observer les oscillations de Rabi. On retrouve bien une p  riode d  oscillation de 200 ns. Leurs amplitude sur un temps de l  ordre de la dizaine de microsecondes en raison du temps de coh  rence limit   du syst  me.

3.4 Temps de coh  rence T_1

Un pulse π est envoy   au qubit afin de le faire passer dans l  tat excit  . Apr  s un d  lai τ , l  tat du qubit est sond   par l  interm  diaire du r  sonateur. On mesure ainsi la probabilit   qu  apr  s un instant τ le qubit ait conserv   son   tat. En r  p  tant la mesure pour diff  rents d  lais, on constate que la probabilit   d  occupation de l  tat excit   d  cro  t de fa  on exponentielle avec le temps. Un ajustement de courbe nous permet alors d  estimer le temps de coh  rence T_1    $27 \pm 2 \mu\text{s}$.

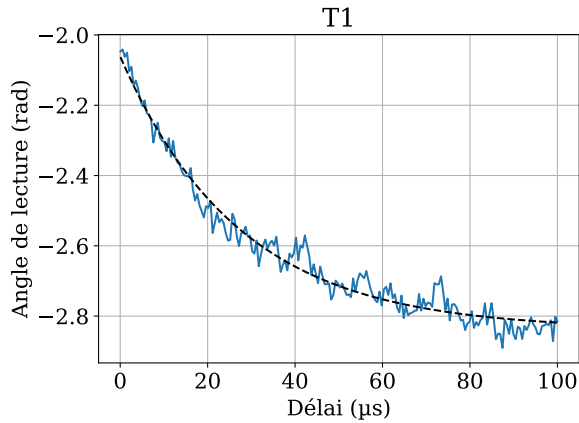


FIGURE 11 – Phase de r  flexion du r  sonateur en fonction du d  lai de mesure apr  s l  mission d  un pulse $\pi/2$.

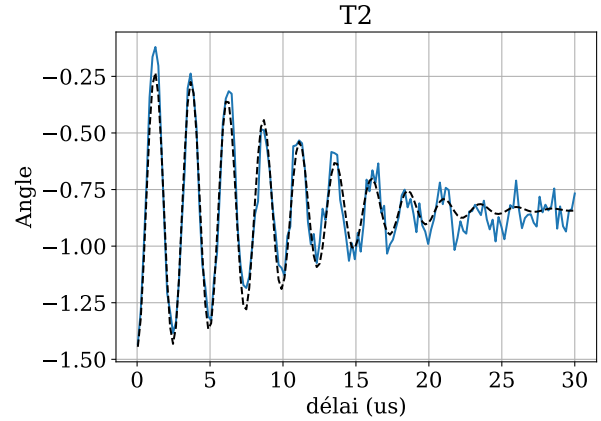


FIGURE 12 – Phase de r  flexion du r  sonateur en fonction du d  lai entre l  mission de deux pulses π . En raison du l  ger   cart en fr  quence entre les pulses et le qubit, des oscillations appara  ssent.

3.5 Oscillations de Ramsey

Une s  quence comportant de deux pulses $\pi/2$ s  par  s d  un interval de temps τ est envoy   au qubit. Le premier pulse permet de positionner l  tat du qubit sur l  h  misph  re de la sph  re de Bloch. Le second pulse l  am  ne dans l  tat excit   si son   tat n  a pas   t   alt  r   entre temps. En raison d  un l  ger d  calage $\Delta\omega$ entre la fr  quence d  excitation et la fr  quence du qubit, son   tat va pr  c  sser sur l   quateur    la fr  quence $\Delta\omega$. On constate en effet qu    l  issue du second pulse l  tat du qubit oscille (Fig.12). Un ajustement des r  sultats avec la fonction $t \longrightarrow e^{-\left(\frac{t}{T_2}\right)^2} \cos(\omega t + \phi)$ nous permet alors d  estimer le temps de coh  rence $T_2^* = 13 \pm 1 \mu\text{s}$. L  ajustement n  est pas id  al, l  utilisation de la phase de la r  flexion sur le r  sonateur ne donne en r  alit   pas directement la probabilit   de trouver le qubit dans un   tat ou un autre, ce qui a pour effet de d  former les courbes obtenues.

4. Conclusion

Au cours de ce TP, nous avons pu mesurer l  tat d  un qubit supraconducteur par l  interm  diaire d  un r  sonateur dont la fr  quence de r  sonance est d  plac  e. Nous avons tout d  abord identifi   cette fr  quence de r  sonance    l  aide d  un VNA. Puis, nous avons manipul   l  tat du qubit avec une carte FPGA. Cela nous a permis de r  aliser des mesures de temps de coh  rence T_1 et T_2 et de constater des oscillations de Rabi puis Ramsey.